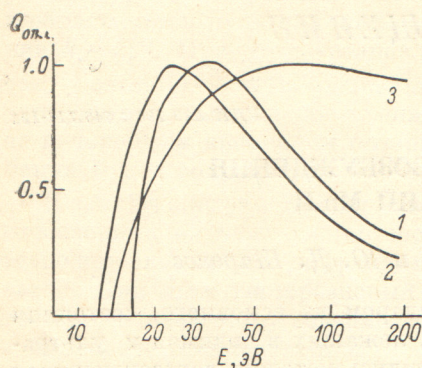


Результаты измерений представлены в таблице, где указаны переходы, которым соответствуют изучаемые спектральные линии, пороги их возбуждения, положение максимума функции возбуждения линии и эффективные сечения возбуждения из основного состояния атома.

Как видно из таблицы, измеренные линии Mn II лежат в области спектра 240–350 нм. Сечения возбуждения других спектральных линий иона марганца, лежащих в исследованном диапазоне спектра (200–630 нм), значительно меньше сечений указанных линий.

Все измеренные переходы сгруппированы вокруг резонансных уровней иона марганца  $z^7P^0$  и уровней  $z^5P^0$ . Мы наблюдаем каскадное заселение уровней  $z^7P^0$  с уровнями



Функции возбуждения спектральных линий иона марганца.  
1 — переходы с уровнем  $e^7D$ ; 2 — переходы с  $z^5P^0$ ; 3 — переходы с  $z^7P^0$ .

ней  $e^7D$  и переход с этого уровня на основной уровень Mn II —  $a^7S_3$ , а также расселение с возбужденного  $z^5P^0$  на метастабильные  $a^5S_2$  и  $a^5D$ .

Так как часть спектральных линий Mn II нельзя было разрешить с помощью используемой спектральной аппаратуры, в ряде случаев в таблице приведены суммарные значения сечений нескольких линий.

Для всех измеренных спектральных линий Mn II сняты функции возбуждения в диапазоне энергий налетающих электронов 0–200 эВ, которые показаны на рисунке. Необходимо отметить, что функции возбуждения спектральных линий Mn II, идущих с общего верхнего уровня, а также с уровнями, расщепленными по  $J$ , идентичны, как и функции возбуждения атомных линий марганца.

Поступило в Редакцию 28 апреля 1980 г.

УДК 535.375 : 548.0

## ДИСПЕРСИОННЫЙ АНАЛИЗ ДИЭЛЕКТРИЧЕСКОЙ ПРОНИЦАЕМОСТИ НЕЦЕНТРОСИММЕТРИЧНЫХ КРИСТАЛЛОВ ПО СПЕКТРАМ КР

И. И. Кондиленко, П. А. Коротков и Г. С. Фелинский

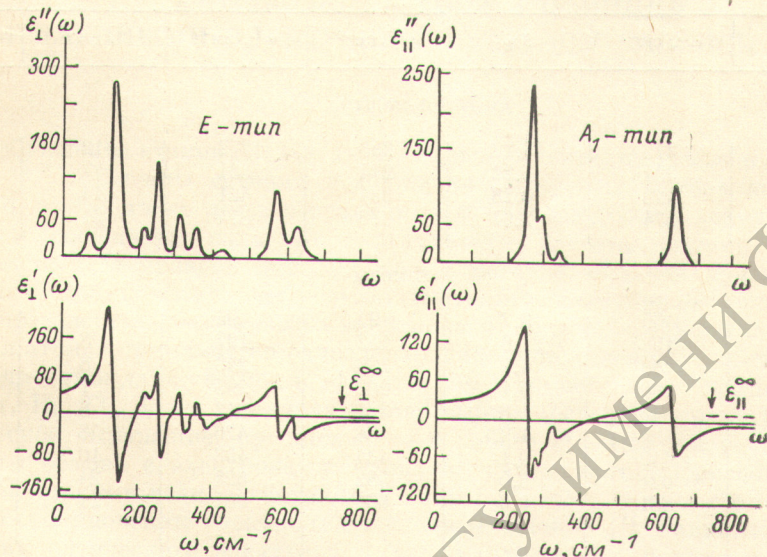
Линейная часть тензора диэлектрической проницаемости (ДП) определяет структуру и форму линий поляритонного и фононного спектра кристалла [1], а в целом вклад полярных колебаний в линейный электрооптический эффект [2, 3] и все нормальные волны в кристалле [4]. В рамках модели независимых осцилляторов [5, 6] можно представить линейную часть тензора ДП в виде

$$\varepsilon_k(\omega) = \varepsilon_k^\infty + \sum_{i=1}^{N_k} \frac{S_{ik}(\omega_{ik}^T)^2}{(\omega_{ik}^T)^2 - \omega^2 - i\omega\Gamma_{ik}}, \quad (1)$$

где  $S_{ik}$  — сила осциллятора,  $\omega_{ik}^T$  — частота поперечного колебания,  $\Gamma_{ik}$  — константа затухания для  $i$ -го колебания с поляризацией вдоль  $k$ -й оси,  $\varepsilon_k^\infty$  — высокочастотная ДП,  $N_k$  — количество нормальных колебаний.

В работах [6–9] проводилось определение сил осцилляторов ДП по спектрам ИК отражения и отмечалось, что с учетом затухания для кристаллов с боль-

шим числом колебаний дисперсионный анализ (ДА) часто весьма затруднен. В [10] описан метод восстановления ИК спектра ДП по поперечно ( $T$ )—продольному ( $L$ ) расщеплению частот, наблюдаемому в спектре комбинационного рассеяния (КР), и успешно применен для ДА нецентросимметричного  $\text{NaBrO}_3$ . В предложенном методе расчетные соотношения записаны в пренебрежении затуханием, причем для ДА необходимо точное измерение интенсивностей линий КР, определение абсолютных величин и относительных знаков компонент тензоров КР и квадратичной нелинейной поляризуемости, в которой, строго говоря, необходимо учитывать зависимость от частоты [11]. Проблема неоднозначности определения комплексных нелинейных поляризуемостей на частотах собственных колебаний решетки в ряде случаев не позволяет применять метод [10].



Зависимость мнимой и действительной частей компонент тензора ДП  $\epsilon_1(\omega)$  и  $\epsilon_2(\omega)$  в области резонансного поглощения решетки в ниобате лития.

В связи с этим в настоящей работе проведено с учетом затухания и без привлечения данных по нелинейным поляризуемостям восстановление параметров формулы (1) по спектру КР. В [1] показано, что тензор ДП (1) описывает частотное положение и форму спектра КР как поперечных, так и продольных фононов. Спектр стоксовых компонент КР на продольных фононахдается функцией  $L_k(\omega, S_{ik})$ :

$$L_k(\omega, S_{ik}) = [n(\omega) + 1] \operatorname{Im} \left[ -\frac{1}{\epsilon_k(\omega)} \right], \quad (2)$$

где  $n(\omega) = [\exp(\hbar\omega/kT) - 1]^{-1}$  — плотность фононов частоты  $\omega$ . Отметим, что при отсутствии затухания в кристалле с одним полярным колебанием  $L_k(\omega, S_{ik})$  имеет полюс на частоте  $\omega_{ik}^L$ , когда  $\epsilon_k(\omega_{ik}^L) = 0$ , причем  $\omega_{ik}^L = \omega_{ik}^T \sqrt{\epsilon_k^0/\epsilon_k^\infty}$ , что совпадает с известным соотношением ЛСТ [12]. В общем случае конечного затухания частоты продольных колебаний совпадают с максимумами функции  $L_k(\omega, S_{ik})$ , а форма линии КР близка к лорентцевой с полушириной, равной константе затухания  $\Gamma_{ik}$ .

Таким образом, искомые силы осцилляторов  $S_{ik}$  можно найти как корни системы  $N_k$  нелинейных уравнений вида

$$\Psi_i(S_{ik}) = \frac{\partial}{\partial \omega} L_k(\omega, S_{ik}) \Big|_{\omega=\omega_{ik}^L} = 0, \quad (3)$$

где  $i = \overline{1, N_k}$ . Явный вид системы уравнений можно получить, подставляя (1) и (2) в (3). Система (3), как видим, определяет искомые величины  $S_{ik}$  по заданным  $\omega_{ik}^T$ ,  $\omega_{ik}^L$  и  $\Gamma_{ik}$ , которые весьма точно определяются по спектрам КР.

Поскольку аналитическое решение (3) удалось получить только для ограниченного числа частных случаев, то целесообразно применение численных методов. В качестве первого приближения для  $S_{ik}$  можно воспользоваться формулой [10]

$$S_{ik} = [(\omega_{ik}^L)^2 / (\omega_{ik}^T)^2 - 1] \prod_{j \neq i}^{N_k} \frac{(\omega_{jk}^L)^2 - (\omega_{ik}^T)^2}{(\omega_{jk}^T)^2 - (\omega_{ik}^T)^2}.$$

Данные наших измерений и расчета для колебаний как типа  $A_1$ , так и типа  $E$  для ниобата лития представлены в таблице и дают хорошее соответствие полу-

Результаты ДП в ниобате лития по спектрам КР

Работа [18]			Настоящая работа			
$\omega^T$ , см $^{-1}$	$\omega^L$ , см $^{-1}$	$S_{ik}$	$\omega^T$ , см $^{-1}$	$\omega^L$ , см $^{-1}$	$\Gamma$ , см $^{-1}$	$S_{ik}$
<i>A</i> -моды						
253	273	15.22	253	272	42	14.31
275	331	1.22	274	331	7	1.21
334	428	0.28	334	421	14	0.26
637	874	2.67	636	874	21	2.73
<i>E</i> -моды						
92	95	3.7	92	95		3.60
152	198	21.6	152	197	8	20.71
238	243	1.7	236	243	8	2.04
262	298	5.1	262	295	7	4.27
322	345	1.8	321	342	6	1.80
368	428	1.9	368	426	8	2.21
436	448	0.1	434	453	10	0.13
582	621	3.0	582	621	24	2.66
630	881	0.6	634	881	21	0.77

ченным ранее в [18]. На рисунке представлена зависимость действительной и мнимой частей  $\epsilon_1(\omega)$  в области резонансного поглощения решетки. Иттерационная схема решения системы (3) автоматически обрывалась при достижении среднеквадратичного отклонения вычисленных частот  $L$ -фононов от заданных на 0.1 см $^{-1}$ , что на порядок меньше погрешности измерений частот. Численное решение (3) с указанной точностью осуществлялось путем последовательного решения  $i$ -го уравнения относительно соответствующего  $S_{ik}$  на ЭВМ ЕС-1020.

Таким образом, в нецентросимметричных кристаллах с большим количеством колебаний можно проводить ДА тензора ДП, основываясь только на измерении по спектрам КР величин:  $\omega_{ik}^T$ ,  $\omega_{ik}^L$  и  $\Gamma_{ik}$ . Метод применим для кристаллов, в которых может быть измерена величина  $T-L$  расщепления и полуширина линий КР.

В заключение авторы благодарят Л. Н. Луцюка за помощь в проведении расчетов на ЭВМ.

#### Литература

- [1] A. S. Barker, R. Loudon. Rev. Mod. Phys., 44, 18, 1972.
- [2] I. P. Kamionov, W. D. Johnston. Phys. Rev., 160, 519, 1967.
- [3] В. С. Горелик, О. Г. Золотухин, М. М. Сущинский. ФТТ, 22, 1024, 1980.
- [4] В. М. Аграпович, В. Л. Гинзбург. Кристаллооптика с учетом пространственной дисперсии и теория экситонов. «Наука», М., 1979.
- [5] М. Борн, Х. Кунь. Динамическая теория кристаллических решеток. ИЛ, М., 1958.
- [6] W. G. Spitzer, D. Kleinstein, D. Walsh. Phys. Rev., 113, 127, 1959.
- [7] М. В. Белоусов, Д. Е. Погарев, А. А. Шултин. ФТТ, 11, 2697, 1969; 12, 991, 1970.
- [8] L. Mertens, G. Lamprecht. Phys. Stat. Sol., 39, 573, 1970.
- [9] М. В. Белоусов, Д. Е. Погарев. Опт. и спектр., 38, 1018, 1975.
- [10] М. В. Белоусов. ФТТ, 15, 1206, 1973.

- [11] И. И. Кондиленко, П. А. Коротков, Г. С. Фелинский. УФЖ, 25, 855, 1744, 1980.  
 [12] R. H. Luddane, R. G. Sachs, E. Teller. Phys. Rev., 59, 673, 1941.  
 [13] W. D. Johnston. Phys. Rev., 31, 3494, 1970.

Поступило в Редакцию 12 сентября 1980 г.

УДК 539.186.2 : 546.621

## РАСЧЕТ СЕЧЕНИЙ ВОЗБУЖДЕНИЯ АТОМОВ ПОДГРУППЫ АЛЮМИНИЯ МЕДЛЕННЫМИ ЭЛЕКТРОНАМИ МЕТОДОМ СИЛЬНОЙ СВЯЗИ

*Ю. И. Рябых*

Возбуждение атомов Al, Ga, In и Tl экспериментально исследовалось в ряде работ [<sup>1-5</sup>]. Расчеты сечений возбуждения для этих атомов до настоящего времени проводились лишь в различных вариантах теории возмущений. В настоящем сообщении излагаются результаты расчета сечений возбуждения резонансных  $^2S$ -уровней данных атомов методом сильной связи при малых энергиях столкновения, где результаты теории возмущений ненадежны. Рассмотрены энергии налетающего электрона от порога возбуждения до 1 Ryd.

Для атомов принимается одноэлектронное приближение. Оптический  $p$ -электрон считается движущимся в эффективном поле остова  $ns^21S$ , где  $n=3-6$  для Al, Ga, In, Tl. Для потенциала остова выбиралось двухпараметрическое аналитическое выражение, предложенное в работе [<sup>6</sup>]. Поляризуемость остова и эффекты обмена с электронами остова не учитываются. Пренебрегаем также релятивистскими взаимодействиями. Таким образом, задача становится аналогичной столкновению электрона с щелочным атомом [<sup>7</sup>]. Радиальные волновые функции оптического электрона в потенциале остова находились численным интегрированием как собственные функции уравнения Шредингера. Параметры потенциала выбирались так, чтобы энергия основного состояния совпадла с экспериментальным значением центра тяжести основного дублета  $ns^2np\ ^2P_{1/2, 3/2}$ . В качестве второго условия применялось соотношение между параметрами, принятые в [<sup>6</sup>].

Пренебрегая магнитным взаимодействием налетающего электрона с атомом, можно показать, что в случае, когда конечным состоянием является синглетный  $^2S$ -уровень, сечение возбуждения его с отдельного подуровня основного состояния не зависит от полного момента начального подуровня. Поэтому сечение возбуждения  $^2S$ -уровня, усредненное по подуровням начального состояния, отличается от сечения перехода между соответствующими нерасщепленными термами лишь множителем, зависящим от тонкой структуры и фактической заселенности начального состояния. Для Al, Ga и In этот множитель практически равен единице при всех рассмотренных энергиях. Поэтому сечения возбуждения для Al, Ga и In вычислялись по формулам перехода между термами, а в качестве энергий атомных состояний в методе сильной связи брались средние энергии термов. В атоме Tl в условиях эксперимента [<sup>1</sup>] метастабильный уровень основного дублета  $6^2P_{3/2}$  оказывается практически не заселенным. Благодаря отмеченной выше независимости сечения возбуждения  $^2S$ -уровня от полного момента компоненты тонкой структуры начального уровня, для Tl применялись те же формулы для сечений, но при решении уравнений сильной связи в качестве энергии основного состояния бралась энергия заселенной компоненты  $6^2P_{1/2}$ .

В расчете оказалось возможным учесть сильную связь  $ns^2np\ ^2P-(n+1)s^2S-(n+1)p\ ^2P$ -состояний с учетом обмена. Результаты расчетов и экспериментальные данные приведены на рисунке. На рисунке также указаны сечения в приближениях Борна и  $np^2P-(n+1)s^2S$ -связи. Сечения возбуждения  $(n+1)^2S$ -